

МИНИСТЕРСТВО ОБРАЗОВАНИЯ И НАУКИ РОССИЙСКОЙ ФЕДЕРАЦИИ
федеральное государственное автономное образовательное учреждение высшего
образования
«САНКТ-ПЕТЕРБУРГСКИЙ ГОСУДАРСТВЕННЫЙ УНИВЕРСИТЕТ
АЭРОКОСМИЧЕСКОГО ПРИБОРОСТРОЕНИЯ»

КАФЕДРА № 11

ОТЧЕТ
ЗАЩИЩЕН С ОЦЕНКОЙ
ПРЕПОДАВАТЕЛЬ

отм +

ст. преподаватель

должность, уч. степень, звание

[Signature] 24.02.21

подпись, дата

А.П. Григорьев

инициалы, фамилия

ОТЧЕТ О ЛАБОРАТОРНОЙ РАБОТЕ

ОПТИМИЗАЦИЯ И АЛГОРИТМИЗАЦИЯ ПРОГРАММНОГО
ТРАЕКТОРНОГО УПРАВЛЕНИЯ ПОЛЕТОМ ЛЕТАТЕЛЬНОГО
АППАРАТА

по курсу: Алгоритмическое и программное обеспечение

РАБОТУ ВЫПОЛНИЛ

СТУДЕНТ ГР.

1711

Koff 27.02.21

подпись, дата

М.П. Корельский

инициалы, фамилия

Зачтено
[Signature]
24.02.2021

Санкт-Петербург 2021

1 Цель работы

1. Изучение способов управления движением летательного аппарата (ЛА) по линии заданного пути (ЛЗП): а) курсового; б) путевого; в) маршрутного.
2. Изучение критерия оптимального полёта по маршруту–функционала обобщённой работы.
3. Изучение законов управления боковым отклонением и отклонением высоты.
4. Изучение алгоритма траекторного управления.
5. Изучение численного решения задачи оптимизации маршрутного управления.
6. Определение оптимальных коэффициентов по отклонению и по скорости (k_z и $k_{\dot{z}}$) методом чисел Фибоначчи.

2 Оптимальное управление полетом по маршруту

Для стационарных режимов характерны стационарные и нетерминальные оптимальные управления. Для маршрутного полёта, а также многих видов маневрирования, допустима нетерминальная оптимизация. В интересах простоты задачи оптимизации целесообразным является применение критерия оптимизации в виде **функционала обобщённой работы** (ФОР), предложенного для процессов, описываемых уравнениями [5]:

$$\dot{x}_i + f_i(x, t) = \sum_{j=1}^m \varphi_{i,j}(x, t) u_j, \quad i = 1, 2, \dots, n. \quad (2.1)$$

Оптимальными в смысле минимума функционала

$$I = V_3(x(t_2)) + \int_{t_1}^{t_2} Q_3(x, t) dt + \frac{1}{2} \int_{t_1}^{t_2} \sum_{j=1}^m \frac{u_j^2 + u_{j\text{оп}}^2}{k_j} dt \quad (2.2)$$

являются уравнения

$$u_j = u_{j\text{оп}} = -k_j^2 \sum_{k=1}^n \varphi_{kj}(x, t) \frac{\partial V}{\partial x_k}, \quad (2.3)$$

где $V = V(x, t)$ – решение уравнения Ляпунова

$$\frac{\partial V}{\partial t} - \sum_{i=1}^n f_i \frac{\partial V}{\partial x_i} = -Q_3(x, t) \quad (2.4)$$

при граничном условии $V(x(t_2), t_2) = V_3(x(t_2), t_2)$.

В уравнениях (2.1)–(2.4) $x(t) = (x_1, x_2, \dots, x_n)^T$ – вектор состояния; $u = (u_1, u_2, \dots, u_m)^T$ – вектор управления; f_i , φ_{ij} , Q_3 , V_3 – заданные непрерывные функции времени; $k_j^2 > 0$ – заданные коэффициенты. Левый член ФОР в (2.2) (терминальный член) «отвечает» за вывод управляемого объекта в момент времени $t_{\text{кон}} = t_2$ в окрестность желаемой «цели». Средний

член «отвечает» за качество переходных процессов и соблюдение ограничений. Правый член ФОР может выражать энергетические и информационные затраты, или и то и другое вместе. В целом правый член допускает следующую интерпретацию. При решении задач синтеза системы управления он влияет прежде всего на структуру и параметры синтезируемого интерфейса, связывающего систему управления с объектом управления (цифроаналоговые преобразователи, экстраполяторы, исполнительные устройства). При оптимальном управлении правый член всегда равен нулю [5].

Главным достоинством оптимизации на основе минимизации ФОР является алгоритмическая и вычислительная простота, поскольку решение уравнения Ляпунова не представляет трудностей. Минимизация ФОР вместо традиционных методов (например, минимизации методом динамического программирования) для сложных многомерных нелинейных задач оптимизации позволяет на два-три и более порядков сократить вычислительные затраты на стадии проектирования и требуемую вычислительную производительность в режиме реального времени.

Поставим задачу нахождения $\gamma_z = k_z Z + k_{\dot{z}} \dot{Z}$ с помощью *критерия оптимального полёта по маршруту* в виде частного случая ФОР [7]:

$$I = \int_0^T Z^2(t, k) dt, \quad (2.5)$$

где T – время переходного процесса, k – оптимизируемый коэффициент (k_z или $k_{\dot{z}}$). Левый член ФОР (2.2) можно положить равным нулю. Правый член ФОР равен нулю, т. к. система управления спроектирована оптимальной с точки зрения отработки управляющих сигналов. Функционал (2.5) имеет чёткий физический смысл. Он учитывает площадь подынтегральной кривой $Z(t)$, что обеспечивает минимум отклонений от ЛЗП.

Таким образом *задача оптимизации управления по маршруту* сводится к тому, чтобы найти такую зависимость угла крена от переменных состояния $\gamma_z = k_z Z + k_{\dot{z}} \dot{Z}$ под действием которой система из состояния $Z(0), \dot{Z}(0)$ переходила бы в состояние $Z(t_{\text{кон}})=0, \dot{Z}(t_{\text{кон}})=0$ и при этом функционал I принимал наименьшее значение.

Рассмотрим *законы управления по каналам элеронов и руля высоты* [1]. При стабилизации ЛА на траектории обычно сигнал датчика Z вводят только в канал элеронов, а сигнал датчика $\Delta H = H - H_z$ (где H_z – заданная высота полёта), как правило, вводят только в канал руля высоты. В результате для режима стабилизации ЛА на траектории законы управления по каналам элеронов, руля направления и руля высоты в общем виде могут быть представлены как [1]

$$\begin{cases} \delta_{\Theta}(s) = W_{\Theta}^{\gamma}(s) \gamma + W_{\Theta}^{\omega_x}(s) \omega_x + W_{\Theta}^Z(s) Z; \\ \delta_H(s) = W_H^{\omega_y}(s) \omega_y; \\ \delta_B(s) = W_B^v(s) v + W_B^{\omega_z}(s) \omega_z + W_B^{\Delta H}(s) \Delta H + W_B^{\gamma}(s) |\gamma|, \end{cases} \quad (2.6)$$

где γ – угол крена; v – угол тангажа; $\omega_x, \omega_y, \omega_z$ – проекции вектора угловой скорости разворота самолёта ω на оси связанной системы координат.

Число слагаемых в правых частях системы (2.6) соответствует числу действительно применяемых в реальных системах датчиков. Особенности конкретных сервоприводов рулей учитываются передаточными функциями при входных параметрах.

Часто законы управления по каналам элеронов и руля высоты представляются в виде

$$\begin{cases} \delta_{\Theta}(s) = W_{\Theta}^{\gamma}(s) (\gamma - \gamma_3) + W_{\Theta}^{\omega_x}(s) \omega_x; \\ \delta_B(s) = W_B^v(s) (v - v_3) + W_B^{\omega_z}(s) \omega_z + W_B^{\gamma}(s) |\gamma|, \end{cases} \quad (2.7)$$

$$\text{где} \quad \gamma_3(s) = -W_{\gamma}^Z(s) Z = -\frac{W_{\Theta}^Z(s)}{W_{\Theta}^{\gamma}(s)} Z; \quad v_3(s) = -W_v^{\Delta H}(s) \Delta H = -\frac{W_B^{\Delta H}(s)}{W_B^v(s)} \Delta H. \quad (2.8)$$

Величины γ_3 и v_3 при этом представляют «заданные» значения углов γ и v , функционально связанные с Z и ΔH . Запись (2.7) законов управления намечает путь к упрощению систем уравнений, описывающих процессы стабилизации ЛА на траектории. Действительно, если предположить, что система управления мгновенно обрабатывает заданные значения углов крена и тангажа, так что $\gamma \equiv \gamma_3, v \equiv v_3$, то отпадает необходимость в рассмотрении уравнений (2.7), и **законы управления боковым отклонением и отклонением высоты** принимают вид

$$\gamma_3(s) = -W_{\gamma}^Z(s) Z, \quad v_3(s) = -W_v^{\Delta H}(s) \Delta H, \quad (2.9)$$

выражающий связь уже не между входными и выходными параметрами каналов элеронов и руля высоты, а между *управляющими* (γ, v) и *траекторными* ($Z, \Delta H$) параметрами системы управления [1].

Траекторные параметры, характеризующие движение центра масс ЛА, изменяются во времени сравнительно медленно. Параметры, характеризующие движение вокруг центра масс, изменяются во времени сравнительно быстро. С помощью этих параметров можно эффективно воздействовать на движение центра масс. В связи с этим в качестве управляющих удобно использовать параметры, характеризующие движение самолёта вокруг центра масс, т.е. угловые параметры, что и отражено уравнениями (2.9). Практически запись (2.9) законов управления означает пренебрежение переходными

процессами движения самолёта вокруг центра масс ввиду их малой длительности по сравнению с длительностью переходных процессов движения центра масс.

3 Алгоритм траекторного управления

Оптимальное управление полётом ЛА по маршруту осуществляется с помощью алгоритма траекторного управления (АТУ), который представлен на рис.3.1 АТУ реализуется в БЦВМ.

Входными параметрами АТУ являются траекторные параметры ЛА относительно текущей ЛЗП и следующей ЛЗП: S, Z – ортодромические координаты ЛА; Z_{\max} – максимальное допустимое боковое уклонение для использования в законе управления $\gamma_3 = k_Z Z + k_{\dot{Z}} \dot{Z}$; $\Phi_{ПУ}$ – фактический путевой угол; V – скорость ЛА; H – высота полёта; H_3 – заданная высота полёта; $ЗПУ_i$ – заданный путевой угол i -й ЛЗП; $ЗПУ_{i+1}$ – заданный путевой угол $(i+1)$ -й ЛЗП.

Выходными функциями АТУ являются: закон управления углом крена $\gamma_3 = k_Z Z + k_{\dot{Z}} \dot{Z}$ и закон управления углом тангажа ν_3 .

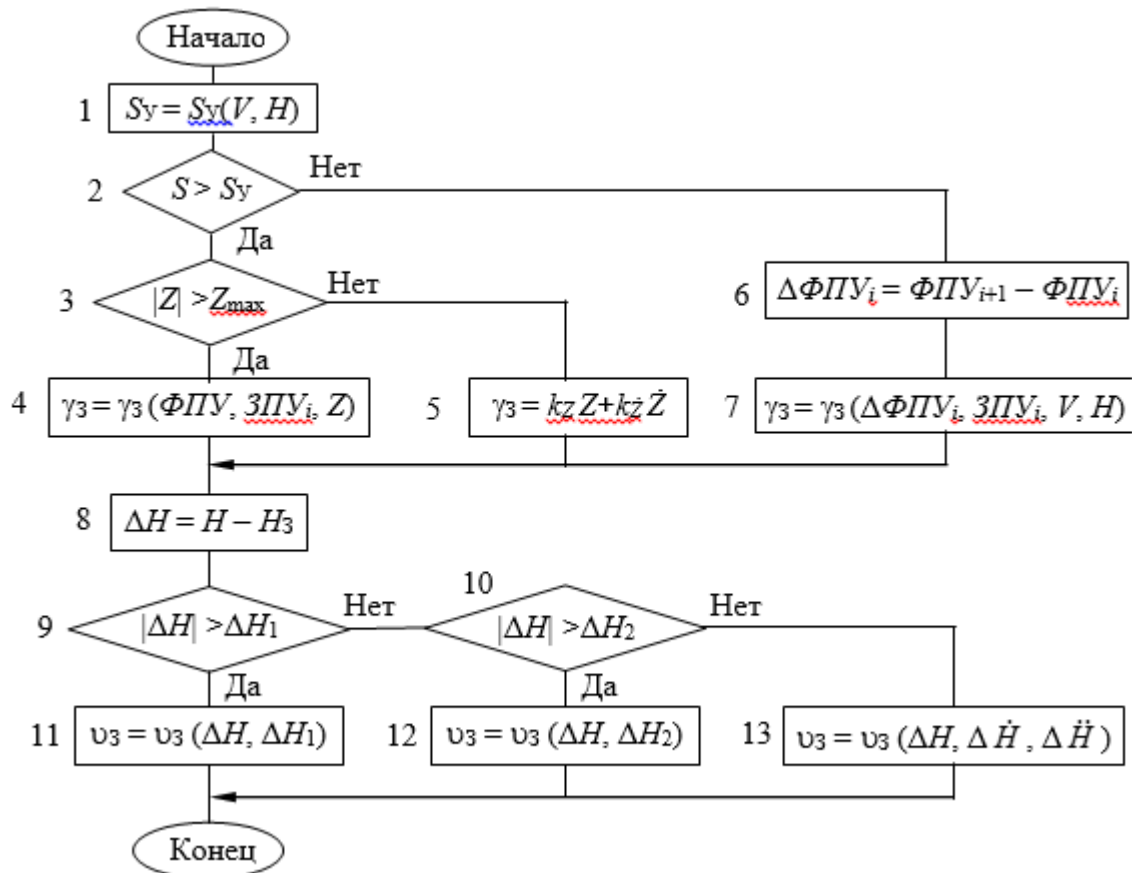


Рисунок 3.1 - Блок-схема алгоритма траекторного управления

Сигналы V и H позволяют рассчитать линейное упреждение разворота S_y (блок 1). При $S > S_y$ АТУ обеспечивает режим стабилизации по боковому отклонению Z от ЛЗП, причём, при больших отклонениях, когда $|Z| > Z_{\max}$ (блок 3), обеспечивается перевод ЛА на траекторию сближения с ЛЗП. Расчёт γ_z при этом осуществляется с учётом параметров $\Phi_{ПУ}$, $З_{ПУ_i}$ и Z , поскольку отпадает необходимость в сигнале \dot{Z} для демпфирования боковых колебаний из-за необходимости скорейшего сближения с ЛЗП (блок 4). При $|Z| \leq Z_{\max}$ АТУ обеспечивает управление ЛА по закону $\gamma_z = k_z Z + k_z \dot{Z}$, при этом устойчивость траекторного управления обеспечивается тем, что кроме отклонения Z используется производная по времени \dot{Z} , которая обеспечивает демпфирование боковых колебаний (блок 5).

При $S \leq S_y$ обеспечивается расчёт γ_z в зависимости от разности заданных путевых углов i -й и $(i+1)$ -й ЛЗП, а также в зависимости от скорости и высоты полёта V и H (блоки 6 и 7).

Управление в продольной плоскости обеспечивается путём стабилизации высоты относительно H_3 . Вычисление u_3 осуществляется в зависимости от отклонений высоты полёта от заданной с помощью трёх различных соотношений (блоки 11, 12, 13). При больших отклонениях высоты ΔH от заданной (блоки 9, 10) в закон управления по тангажу входят только позиционные параметры (блоки 11, 12), а при малых отклонениях – также и производные от ΔH , что обеспечивает устойчивость процесса стабилизации высоты (блок 13).

4 Численное решение задачи оптимизации

Предположим, что функционал (2.5) обладает особенностями: 1) имеет только один минимум (локальный, он же и абсолютный) на интервале определения k ; 2) может не удовлетворять требованиям непрерывности и существования производной на интервале определения k . Функции, удовлетворяющие этим требованиям, называются *унимодальными*. Поиск минимума унимодальных функций может проводиться методом перебора, методом дихотомии, методом золотого сечения и методом чисел Фибоначчи [4]. Методы перечислены в порядке увеличения эффективности поиска. Таким образом, **метод чисел Фибоначчи** является самым эффективным. Поэтому поиск минимума функционала (2.5) будем проводить этим методом.

Реализация метода связана с использованием последовательности целых чисел, открытой итальянским математиком Леонардом Пизанским (Фибоначчи) в начале XIII века. Обозначим унимодальную целевую функцию через $z = z(x)$. Необходимо найти точку x^* при которой целевая функция z имеет минимум: $z^* = z(x^*) = \min_x z(x)$. При этом считаем,

что x лежит в интервале $[0, 1]$, поскольку любой другой интервал легко приводится к интервалу $[0, 1]$.

Чтобы проследить за ходом развития схемы поиска x^* , z^* , предположим, что в нашем распоряжении имеется N экспериментов. Оценим ситуацию, которая возникает после того, как проведён $N-1$ эксперимент и остаётся выбрать последнее значение $x=x_N$. К этому моменту гарантированная длина интервала неопределённости становится равной L_{N-1} , а сам интервал содержит точку x_{N-1} (рис.4.1), причём среди всех величин z_q ($q=\overline{1, N-1}$), полученных в предшествующих экспериментах, наибольшей является именно z_{N-1} . Положение x_{N-1} на отрезке L_{N-1} зависит от того, какой метод поиска была реализована на предыдущих шагах.

Длина конечного интервала неопределённости будет определяться не только выбираемым x_N , но и уже имеющимся x_{N-1} . Очевидно, результат поиска окажется наилучшим тогда, когда x_{N-1} расположится на расстоянии $\varepsilon/2$ от середины L_{N-1} (рис.4.1) (в этом случае достаточно разместить точку x_N симметрично x_{N-1} и найти $L_N=(L_{N-1}+\varepsilon)/2$ независимо от того, в каком отношении находятся z_N и z_{N-1}). Таким образом, первым требованием к исследуемой схеме является следующее: после проведения $N-1$ экспериментов точка x_{N-1} должна занять на L_{N-1} положение, указанное на рис.4.1.

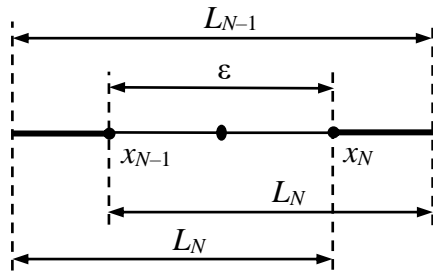


Рис.4.1.

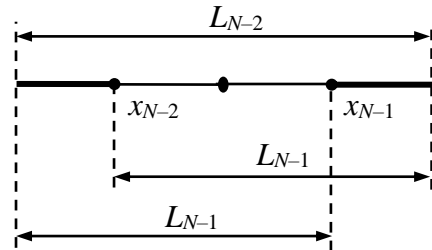


Рис.4.2.

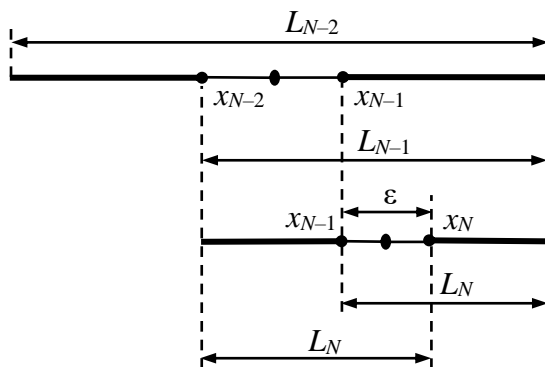


Рис.4.3

Пусть теперь стоит задача выбора двух последних значений x (x_{N-1} и x_N) в условиях, когда $N-2$ эксперимента проведены и найден интервал L_{N-2} , содержащий точку x_{N-2} , в которой получено значение $z=z_{N-2}$, наилучшее (по смыслу задачи) в рассматриваемой серии опытов (рис.4.2). Начнём выбирать x_{N-1} (внутри L_{N-2}); как только x_{N-1} и соответствующее z_{N-1} станут известны, можно будет указать новый интервал неопределённости, меньший L_{N-2} . Поскольку заранее нельзя предсказать, будет ли $z_{N-1} > z_{N-2}$, лучше всего расположить точку x_{N-1} симметрично x_{N-2} несмотря на то, что рас-

стояние между x_{N-1} и x_{N-2} окажется наверняка больше ε . Предложенный выбор x_{N-1} даёт гарантию того, что длина нового интервала неопределённости не превысит величины L_{N-1} , отмеченной на рис.4.2, причем L_{N-1} не может быть уменьшена, если задана точка x_{N-2} . Зная теперь x_{N-1} и помня о требовании, отражённом в рис.4.1, приходим к выводу: чтобы получить результат L_{N-1} , необходимо два последних эксперимента провести так, как показано на рис.4.3, выполнив тем самым условие: $L_{N-2} = L_{N-1} + L_N$.

Таблица 4.1.

Номер шага поиска q	Формула для интервала неопределённости L_q
N	$L_N = L_N$
$N-1$	$L_{N-1} = 2L_N - \varepsilon$
$N-2$	$L_{N-2} = 3L_N - \varepsilon$
$N-3$	$L_{N-3} = 5L_N - 2\varepsilon$
$N-4$	$L_{N-4} = 8L_N - 3\varepsilon$
$N-5$	$L_{N-5} = 13L_N - 5\varepsilon$
.
	$L_q = F_{N-q+1}L_N - F_{N-q-1}\varepsilon$

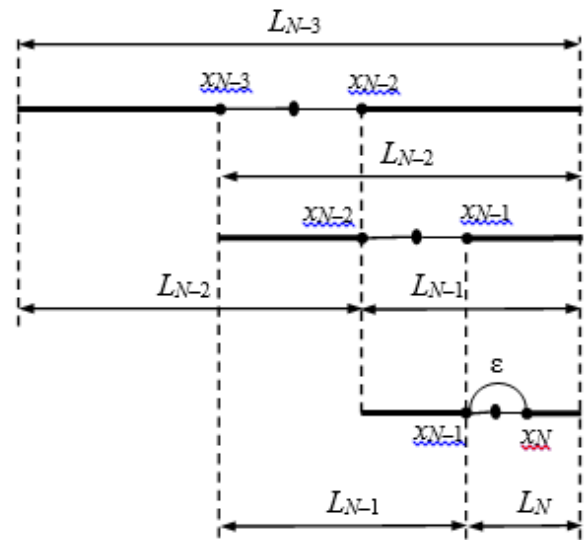


Рисунок 4.4

Если сделать очередной шаг и поставить задачу: найти x_{N-2} , x_{N-1} , x_N при известных L_{N-3} , x_{N-3} , z_{N-3} , то окажется, что рассуждения, приведенные выше, могут быть целиком перенесены и на этот случай. Таким образом, приходим к равенству $L_{N-3} = L_{N-2} + L_{N-1}$; далее схема строится так, как показано на рис.4.4.

Теперь ясно, что *основное соотношение, характеризующее метод*, имеет вид

$$L_{q-1} = L_q + L_{q+1} \quad (q = \overline{2, N-1}). \quad (4.1)$$

Его анализ удобно начать с конкретизации выражений L_q ($q = N, N-1, \dots$), сведя их в табл.4.1. Нетрудно заметить, что коэффициенты при L_N и ε в формулах таблицы составляют *последовательность чисел Фибоначчи* (табл.4.2), задаваемую равенствами $F_0 = F_1 = 1$, $F_k = F_{k-1} + F_{k-2}$, где k —номер числа Фибоначчи, принимающий значения 2, 3, Используя это обстоятельство, можно дать общую запись выражения L_q , приведённую в нижней строке табл.4.1, откуда следует $L_1 = F_N L_N - F_{N-2} \varepsilon$. Но L_1 есть исходный единичный интервал неопределённости ($L_1 = 1$), поэтому [4]

$$L_N = (1 + \varepsilon F_{N-2}) / F_N. \quad (4.2)$$

Таблица 4.2 - Числа Фибоначчи

Число Фибоначчи F_k	1	1	2	3	5	8	13	21	34	55	89	144	233
Номер числа Фиб. k	0	1	2	3	4	5	6	7	8	9	10	11	12
Число Фибоначчи F_k	377	610	987	1597	2584	4181	6765	10 946	17 711	28 657	46 368	75 025	121 393
Номер числа Фиб. k	13	14	15	16	17	18	19	20	21	22	23	24	25

Соотношение (4.2) позволяет оценить эффективность метода чисел Фибоначчи. Большая эффективность метода чисел Фибоначчи связана с тем, что сокращение длины очередного интервала L_q требует проведения одного нового эксперимента, тогда как, например, в схеме дихотомии их требуется два.

Длина конечного интервала неопределённости L_N должна быть меньше или равна 2ε . Из (4.2) следует

$$\frac{1 + \varepsilon F_{N-2}}{F_N} \leq 2\varepsilon \Rightarrow 1 + \varepsilon F_{N-2} \leq 2\varepsilon F_N \Rightarrow \varepsilon(F_{N-2} - 2F_N) \leq -1 \Rightarrow \varepsilon(F_{N-2} - 2F_{N-1} - 2F_{N-2}) \leq -1 \Rightarrow \varepsilon(-F_{N-2} - 2F_{N-1}) \leq -1 \Rightarrow \varepsilon(F_{N-2} + 2F_{N-1}) \geq 1 \Rightarrow \varepsilon(F_{N-2} + F_{N-1} + F_{N-1}) \geq 1 \Rightarrow \varepsilon(F_N + F_{N-1}) \geq 1 \Rightarrow \varepsilon F_{N+1} \geq 1.$$

Отсюда следует

$$F_{N+1} \geq \frac{1}{\varepsilon}. \quad (4.3)$$

Таким образом, **конечное число шагов поиска** N определяется по формуле (4.3).

В заключение рассмотрим вопрос о выборе точки x_1 и, связанной с этим, возможностью реализации метода. Из предыдущего анализа следует $x_1 = 1 - L_2$; но $L_2 = F_{N-1}L_N - \varepsilon F_{N-3}$ (см. табл. 4.1) или с учётом (4.2) $L_2 = F_N[F_{N-1} + \varepsilon(F_{N-1}F_{N-2} - F_N F_{N-3})]$. Отсюда следует, что сделать первый шаг здесь можно лишь тогда, когда назначено число N , т. е. $x_1 = x_1(N)$. Это является недостатком, затрудняющим в ряде случаев решение задачи из-за невозможности изменить N после начала экспериментов. Отметим, что метод золотого сечения не требует предварительного задания N и приближается по эффективности к исследованному методу чисел Фибоначчи [4].

5 Оптимизация коэффициента усиления по скорости k_z

Исходные данные представлены в таблице 5.1.

Таблица 5.1 – Исходные данные

№ варианта	Скорость самолёта V , м/с	Высота полёта H , м	Линейное боковое уклонение Z , м	Расстояние до ППМ S , км	Относительная погрешность ε	Коэффициент усиления по отклонению k_{z1} , рад/м	Диапазон изменения коэффициента усиления по отклонению $0 \div k_{z\max}$	Диапазон изменения коэффициента усиления по скорости k_z
9	272	5000	2000	200	0,04	0.001	$0 \div 0,002$	$0 \div 0,1$

По формуле (4.3) рассчитаем конечное число шагов поиска N .

$$F_{N+1} \geq \frac{1}{\varepsilon} = \frac{1}{0,04} = 25.$$

По таблице 4.2 определяем, что $F_{N+1} = 34$, $N + 1 = 8 \Rightarrow N = 7$.

По формуле (4.2) получим длину конечного относительного интервала неопределенности

$$L_N = \frac{(1+\varepsilon F_{N-2})}{F_N} = \frac{(1+0,04 \cdot 8)}{21} = 0,0629$$

Результаты расчета остальных относительных интервалов неопределенности формулам из таблицы 4.1 занесем в таблицу 5.2.

Таблица 5.2 – Результаты расчета интервалов неопределенности для kz

Относительный интервал неопределенности	Длина интервала	Абсолютный интервал неопределённости	Длина интервала
L_1	1	L'_1	0,1
L_2	0,6171	L'_2	0,0617
L_3	0,3829	L'_3	0,0383
L_4	0,2343	L'_4	0,0234
L_5	0,1486	L'_5	0,0149
L_6	0,0857	L'_6	0,0086
L_7	0,0629	L'_7	0,0063
	$L_q = F_{N-q+1} L_N - F_{N-q-1} \varepsilon$		

С помощью программы OTU проведем оптимизацию коэффициента усиления по скорости kz методом чисел Фибоначчи при $kz=0 \div 0,1$, $kz=k_{z1}$. Результаты оптимизации занесем в таблицу 5.3.

Таблица 5.3 – Поиск минимума интегрального критерия

Номер шага поиска q	Интегральный критерий I_q	Коэффициент усиления по скорости kz_q , рад·с/м
1	0,165	0,0617
2	0,122	0,0383
3	0,095	0,0234
4	0,109	0,0149
5	0,107	0,0297
6	0,093	0,0211
7	0,098	0,0171

$$k_{z\text{опт}} = 0,0211 \text{ рад·с/м}$$

Алгоритм и результаты оптимизации отражены на рисунке 5.1.

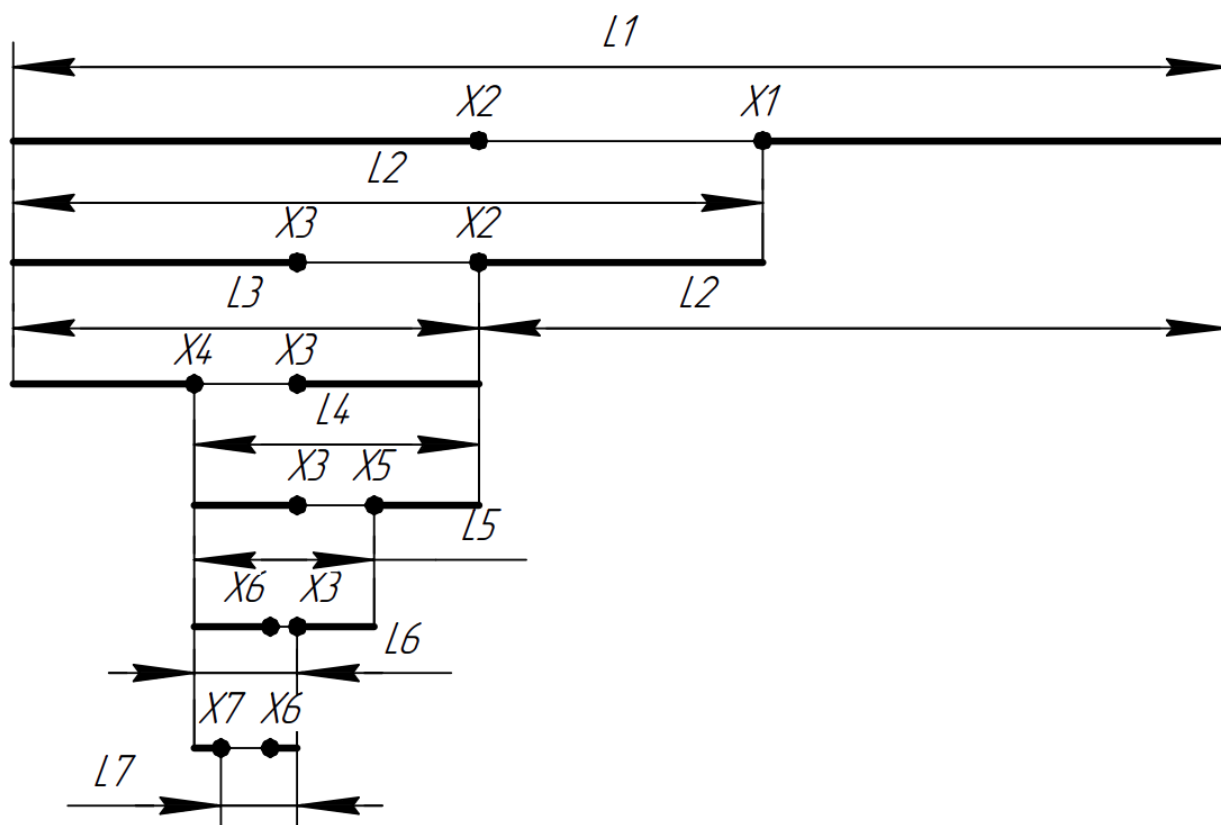


Рисунок 5.1 – Результаты оптимизации k_z

На рисунке 5.1 $L_i = L'_q$ - абсолютный интервал неопределенности, $x_i = k_{z,q}$ - коэффициент усиления по скорости.

6 Оптимизация коэффициента усиления по отклонению k_z

Коэффициент усиления по скорости примем $k_z = 0,0211$ рад · с/м. Результаты расчета конечных относительных и абсолютных интервалов неопределенности занесем в таблицу 6.1.

Таблица 6.1 – Результаты расчета интервалов неопределенности для k_z

Относительный интервал неопределенности	Длина интервала	Абсолютный интервал неопределённости	Длина интервала
L_1	1	L'_1	0,002
L_2	0,6171	L'_2	0,00123
L_3	0,3829	L'_3	0,00077
L_4	0,2343	L'_4	0,00047
L_5	0,1486	L'_5	0,00030
L_6	0,0857	L'_6	0,00017

L_7	0,0629	L'_7	0,00013
	$L_q = F_{N-q+1} L_N - F_{N-q-1} \varepsilon$		

С помощью программы OTU выполним оптимизацию по k_z . Результаты оптимизации занесем в таблицу 6.2.

Таблица 6.2 – Поиск минимума интегрального критерия

Номер шага поиска q	Интегральный критерий I_q	Коэффициент усиления по отклонению k_{zq} , рад/м
1	0,096	0,00123
2	0,103	0,00077
3	0,116	0,00153
4	0,092	0,00106
5	0,094	0,00094
6	0,093	0,00111
7	0,093	0,00098

$k_{z\text{опт}} = 0,00106$ рад/м

Алгоритм и результаты оптимизации отражены на рисунке 6.1.

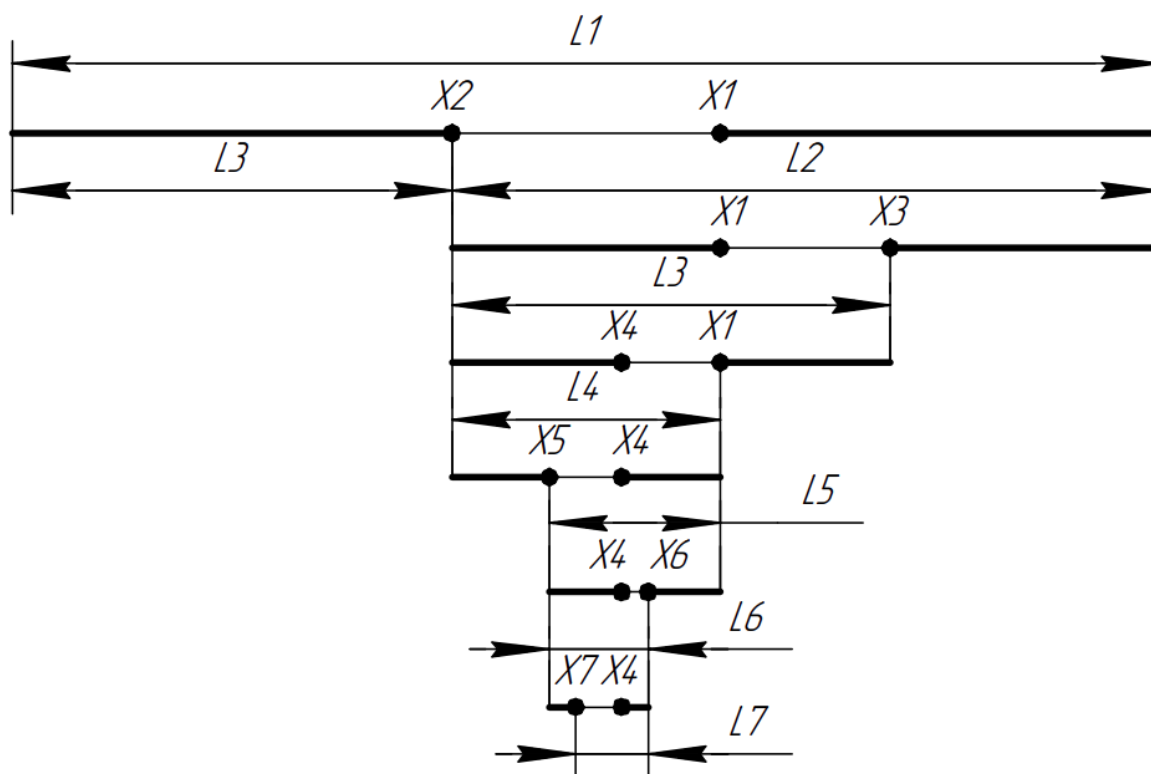


Рисунок 6.1 – Результаты оптимизации k_z

На рисунке 6.1 $L_i = L'_q$ - абсолютный интервал неопределенности, $x_i = k_{zq}$ - коэффициент усиления по отклонению.

7 Выводы

В результате выполнения лабораторной работы выполнено:

1. Изучение способов управления движением летательного аппарата (ЛА) по линии заданного пути (ЛЗП): а) курсового; б) путевого; в) маршрутного.
2. Изучение критерия оптимального полёта по маршруту–функционала обобщённой работы.
3. Изучение законов управления боковым отклонением и отклонением высоты.
4. Изучение алгоритма траекторного управления.
5. Изучение численного решения задачи оптимизации маршрутного управления.
6. Определение оптимальных коэффициентов по отклонению и по скорости (k_z и $k_{\dot{z}}$) методом чисел Фибоначчи.

Получены следующие значения: $k_{z_{\text{опт}}} = 0,0211$ рад·с/м, $k_{\dot{z}_{\text{опт}}} = 0,00106$ рад/м.

Оптимальная траектория, выводимая программой OTU, представлена на рисунке 7.1.

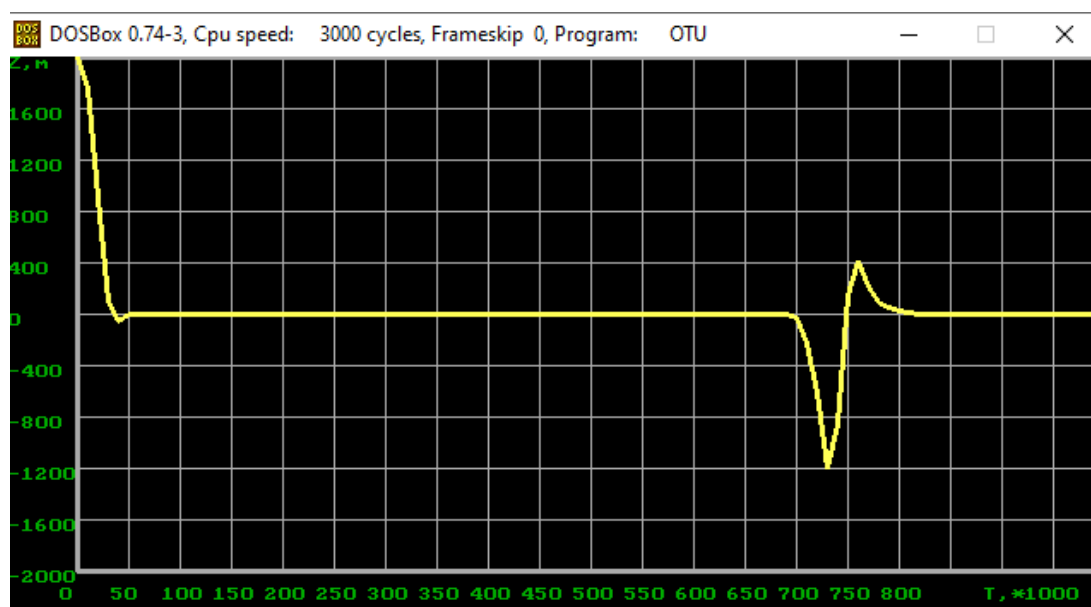


Рисунок 7.1 – Оптимальная траектория

8 Библиографический список

1. Бортовые системы управления полётом/Ю.В. Байборodin, В.В. Драбкин, Е.Г. Сменковский и др. М.: Транспорт, 1975. 336 с.
2. Воздушная навигация: справочник/А.М. Белкин, Н.Ф. Миронов, Ю.И. Рублёв и др. М.: Транспорт, 1988. 303 с.
3. Воробьёв Л.М. Воздушная навигация. М.: Машиностроение, 1984. 256 с.
4. Дегтярёв Ю.И. Методы оптимизации: Учебное пособие для вузов. М.: Советское радио, 1980. 272 с.

5. Красовский А.А. Основы теории авиационных тренажёров. М.: Машиностроение, 1995. 304 с.
6. Мамаев В.Я., Есин Ю.Ф., Графов Е.Н. Алгоритмическое обеспечение приборных комплексов летательных аппаратов с цифровыми вычислителями: Учебное пособие/ЛИАП. Л., 1985. 88 с.
7. Применение специализированных бортовых вычислителей в навигации и управлении: Методические указания к выполнению лабораторных работ/Сост. Е.Н. Графов, В.В. Зуев, В.Я. Мамаев и др./ЛИАП. Л., 1985. 51 с.